

**МЕХАНИКА
ТВЕРДОГО ТЕЛА**
№ 6 • 1981

УДК 531.8

ПЕРЕМЕЩЕНИЕ ТВЕРДОГО ТЕЛА ОДНИМ ДВИЖЕНИЕМ

КЛЮЙКО Э. В.

Известно, что при проектировании автооператоров и автоматических манипуляторов [1] решается задача позиционирования, т. е. пространственного переноса твердого тела из одной позиции (транспортной) в другую (рабочую). При этом различают перенос плоским движением (когда траектории всех точек перемещаемого твердого тела лежат в параллельных плоскостях), сферическим движением (пространственным вращением вокруг неподвижной точки) и в общем случае пространственным вращательно-поступательным движением. Плоский и пространственный перенос выполняются одним или несколькими простыми (вращательными и поступательными) движениями. Под простым понимают движение, которое можно совершить при помощи одноподвижной низшей кинематической пары (вращательной, поступательной, винтовой).

В общем случае плоский перенос является трехмерным (т. е. состоящим из трех простых движений: двух прямолинейно-поступательных и одного вращательного вокруг оси, перпендикулярной плоскости переноса), сферический – также трехмерным (т. е. состоящим из трех вращений), а пространственный вращательно-поступательный перенос – шестимерным (т. е. состоящим из трех вращений и трех прямолинейно-поступательных простых движений).

Из кинематики твердого тела [2] известно, что любое сложное (многомерное) плоское, сферическое или пространственное вращательно-поступательное перемещение тела из одного положения в другое можно выполнить используя бесконечное число вариантов. Однако это же перемещение можно выполнить одним простым движением вокруг оси, положение которой в пространстве определяется однозначно. При этом плоский или сферический перенос сводится к одному вращению вокруг оси, соответственно перпендикулярной плоскости переноса или проходящей через неподвижную точку (центр сферы), а произвольный пространственный перенос сводится к винтовому движению. Сведение переноса к одномерному варианту позволяет повысить скорость и точность перемещения, упростить конструкцию привода и в ряде случаев снизить требования к размещению устройства переноса относительно рабочей зоны технологической или транспортной машины.

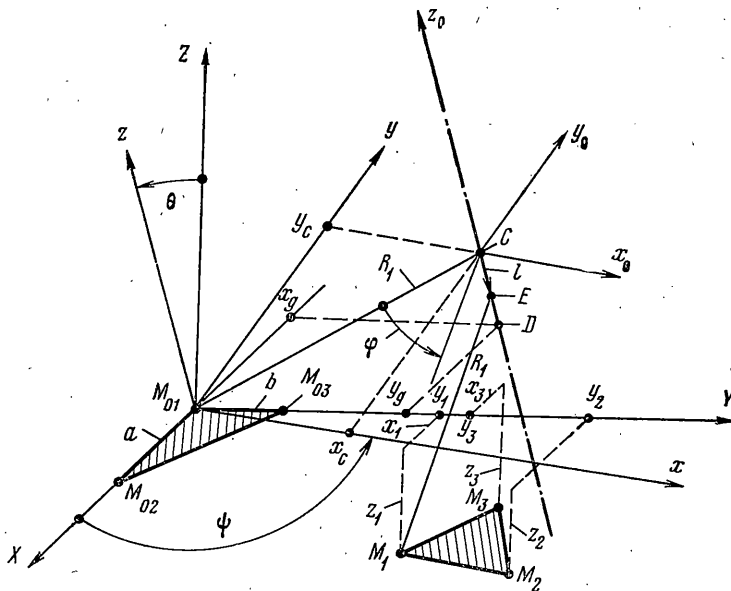
Задаче переноса твердого тела в пространстве посвящено большое число работ, в которых даются графические [3, 4] и аналитические [5, 6] решения для частных случаев. Известны попытки аналитических решений для общего случая пространственного переноса, например [7, 8]. Общим для известных методов является их сложность и отсутствие доведенных до практического использования результатов решений. Кроме того, в указанных работах не ставится вопрос об определении наилучшего варианта исполнения переноса. Далее приведено аналитическое решение для общего случая пространственного переноса, полученное матричным способом преобразования координат с использованием матриц четвертого порядка [9], позволившим найти зависимости, более удобные для практических расчетов.

Пространственное положение твердого тела полностью определяется координатами трех его произвольно выбранных точек, не лежащих на одной прямой [2]. Связем эти точки с подвижной системой координат xyz (в исходном положении совмещенной с неподвижной системой XYZ), так, чтобы (см. фигуру) одна из них была началом координат, а две другие лежали на осях x и y . Тогда координаты этих точек в неподвижной системе XYZ в исходном положении будут $M_{01}\{0, 0, 0\}$, $M_{02}\{a, 0, 0\}$, $M_{03}\{0, b, 0\}$, где a, b – исходные координаты точки M_{02} на оси x и точки M_{03} на оси y (ими, например, могут быть выбранные взаимно перпендикулярные друг другу размеры изделия, переносимого автооператором или режущего инструмента, переносимого промышленным роботом).

Координаты точек $M_1\{x_1, y_1, z_1\}$, $M_2\{x_2, y_2, z_2\}$, $M_3\{x_3, y_3, z_3\}$ после шестимерного пространственного переноса, характеризуемого тремя эйлеровыми поворотами на углы ψ_e , θ_e , φ_e и перемещениями x_e , y_e , z_e в направлении неподвижных координатных осей, будут равны [2]:

$$\begin{aligned} x_1 &= x_e, \quad y_1 = y_e, \quad z_1 = z_e \\ x_2 &= a(\cos \psi_e \cos \varphi_e - \sin \psi_e \cos \theta_e \sin \varphi_e) + x_e \\ y_2 &= a(\sin \psi_e \cos \varphi_e + \cos \psi_e \cos \theta_e \sin \varphi_e) + y_e \\ z_2 &= a \sin \theta_e \sin \varphi_e + z_e \\ x_3 &= -b(\cos \psi_e \sin \varphi_e + \sin \psi_e \cos \theta_e \cos \varphi_e) + x_e \\ y_3 &= -b(\sin \psi_e \sin \varphi_e - \cos \psi_e \cos \theta_e \cos \varphi_e) + y_e \\ z_3 &= b \sin \theta_e \cos \varphi_e + z_e \end{aligned} \quad (1)$$

Перенос в ту же пространственную позицию совершим одним винтовым движением с параметрами поворота φ (град) и перемещения вдоль винтовой оси $l = CE = \frac{l}{360}t\varphi$ (t — шаг винтового движения). Положение винтовой



оси относительно неподвижной системы координат XYZ определяется установочными углами ψ (поворот вокруг оси Z) и θ (поворот вокруг оси x) и установочными координатами x_c , y_c в плоскости, перпендикулярной винтовой оси z_0 . Координаты указанных точек после переноса получим на основе преобразования координат из следующего матричного равенства:

$$r_i = T_5 T_4 T_3 T_2 T_1 r_{0i} = T_{12}^{-1} T_3 T_{21} r_{0i} \quad (2)$$

$$T_1 = \begin{vmatrix} \cos \psi & \sin \psi & 0 & 0 \\ -\sin \psi & \cos \psi & 0 & 0 \\ 0 & 0 & 1 & 0 \\ 0 & 0 & 0 & 1 \end{vmatrix}, \quad T_2 = \begin{vmatrix} 1 & 0 & 0 & -x_c \\ 0 & \cos \theta & \sin \theta & -y_c \\ 0 & -\sin \theta & \cos \theta & 0 \\ 0 & 0 & 0 & 1 \end{vmatrix}, \quad T_3 = \begin{vmatrix} \cos \varphi & -\sin \varphi & 0 & 0 \\ \sin \varphi & \cos \varphi & 0 & 0 \\ 0 & 0 & 0 & 1 \\ 0 & 0 & 0 & 1 \end{vmatrix}$$

$$T_4 = T_2^{-1} = \begin{vmatrix} 1 & 0 & 0 & x_c \\ 0 & \cos \theta & -\sin \theta & y_c \cos \theta \\ 0 & \sin \theta & \cos \theta & y_c \sin \theta \\ 0 & 0 & 0 & 1 \end{vmatrix}, \quad T_5 = T_1^{-1} = \begin{vmatrix} \cos \psi & -\sin \psi & 0 & 0 \\ \sin \psi & \cos \psi & 0 & 0 \\ 0 & 0 & 1 & 0 \\ 0 & 0 & 0 & 1 \end{vmatrix}$$

Здесь $r_{0i}\{x_{0i}, y_{0i}, z_{0i}\}$ и $r_i\{x_i, y_i, z_i\}$ — матрицы-столбцы координат точек M_i , $i = \{1, 2, 3\}$ твердого тела, записанные в неподвижной системе соответственно до и после переноса, T_1 — матрица установочного поворота на угол ψ , T_2 — матрица установочного поворота на угол θ и сдвига на x_c, y_c , T_3 — матрица винтового движения, T_4, T_5 — матрицы обратного перехода от винтовой оси к неподвижной системе XYZ , T_1^{-1}, T_2^{-1} — матрицы, соответственно обратные T_1, T_2 .

В матричном уравнении (2) произведение $T_{21} = T_2 T_1$ определяет переход от неподвижной системы XYZ к координатам $x_0 y_0 z_0$ винтовой оси, произведение $T_3 T_{21}$ характеризует координаты точек твердого тела после винтового переноса, произведение $T_{12}^{-1} = T_{54} = T_1^{-1} T_2^{-1}$ представляет обратное преобразование координат для того, чтобы записать координаты повернутого тела в неподвижной системе XYZ .

Умножая матрицы согласно уравнению (2), после упрощений получим систему девяти уравнений преобразования координат

$$\begin{aligned} x_1 &= x_c [\cos \psi (1 - \cos \varphi) + \sin \psi \sin \varphi \cos \theta] + \\ &+ y_c [\cos \psi \sin \varphi - \sin \psi \cos \theta (1 - \cos \varphi)] + l \sin \theta \sin \psi \\ y_1 &= x_c [\sin \psi (1 - \cos \varphi) - \cos \psi \cos \theta \sin \varphi] + \\ &+ y_c [\sin \psi \sin \varphi + \cos \psi \cos \theta (1 - \cos \varphi)] - l \sin \theta \cos \psi \\ z_1 &= -x_c \sin \theta \sin \varphi + y_c \sin \theta (1 - \cos \varphi) + l \cos \theta \\ x_2 &= x_1 + a [\cos \varphi + \sin^2 \theta \sin^2 \psi (1 - \cos \varphi)] \\ y_2 &= y_1 + a [\cos \theta \sin \varphi - \sin \psi \cos \psi \sin^2 \theta (1 - \cos \varphi)] \quad (3) \\ z_2 &= z_1 + a \sin \theta [\cos \psi \sin \varphi + \sin \psi \cos \theta (1 - \cos \varphi)] \\ x_3 &= x_1 - b [\sin \varphi \cos \theta + \sin \psi \cos \psi \sin^2 \theta (1 - \cos \varphi)] \\ y_3 &= y_1 + b [\cos \varphi + \cos^2 \psi \sin^2 \theta (1 - \cos \varphi)] \\ z_3 &= z_1 + b \sin \theta [\sin \psi \sin \varphi - \cos \psi \cos \theta (1 - \cos \varphi)] \end{aligned}$$

Предварительно обозначим

$$\begin{aligned} c_1 &= (x_2 - x_1)/a, \quad c_2 = (y_2 - y_1)/a, \quad c_3 = (z_2 - z_1)/a \\ c_4 &= (x_3 - x_1)/b, \quad c_5 = (y_3 - y_1)/b, \quad c_6 = (z_3 - z_1)/b \end{aligned}$$

Тогда, решая систему (3) относительно неизвестных, получим (за исходную для отсчета положения винтовой оси принимаем ось Z):

первый установочный поворот (вокруг оси Z)

$$\psi = \frac{1}{2} \operatorname{arctg} [(c_2 + c_4)/(c_1 - c_5)] \quad (4)$$

второй установочный поворот (поворот оси Z вокруг повернутой на угол ψ оси X)

$$\theta = \operatorname{arctg} [2(c_3 \cos \psi + c_6 \sin \psi)/(c_2 - c_4)] \quad (5)$$

переносный поворот вокруг винтовой оси на угол φ

$$\varphi = \operatorname{arctg} \left[\frac{(c_2 - c_4)(1 + \cos^2 \theta)}{2 \cos \theta (c_1 + c_5 - \sin^2 \theta)} \right] \quad (6)$$

сдвиг вдоль оси винтового движения

$$l = \frac{1}{360} t \varphi = (x_1 \sin \psi - y_1 \cos \psi) \sin \theta + z_1 \cos \theta \quad (7)$$

установочные перемещения x_c , y_c из исходного начала координат в точку C винтовой оси (выполняются после установочных поворотов на углы ψ , θ и фиксируют окончательное положение винтовой оси)

$$y_c = \frac{1}{2} (k_1 \operatorname{ctg} \frac{1}{2}\varphi - k_2 \sin \varphi), \quad x_c = y_c \operatorname{tg} \frac{1}{2}\varphi + k_2 \quad (8)$$

$$k_1 = x_1 \cos \psi + y_1 \sin \psi, \quad k_2 = \frac{l \cos \theta - z_1}{\sin \theta \sin \varphi}$$

Винтовое движение переноса будет правым, если знаки при φ и l однозначные, и левым, если разноименные. За положительные приняты повороты против часовой стрелки.

Формулы (4) и (5) дают по два возможных положительных значения ψ и θ в пределах $0-360^\circ$, откуда следует, что винтовой перенос имеет $2 \times 2 \times 1$ варианта исполнения при положительных значениях ψ , θ , φ . Учитывая отрицательные значения этих углов (отсчет по часовой стрелке), получим $4 \times 4 \times 2$ варианта. Положение винтовой оси в неподвижной системе XYZ для всех вариантов однозначно и определяется уравнением в канонической форме

$$\frac{X-x_g}{p} = \frac{Y-y_g}{m} = \frac{Z}{n} \quad (9)$$

$$p = \sin \psi \sin \theta, \quad m = -\cos \psi \sin \theta, \quad n = \cos \theta$$

$$x_g = x_c \cos \psi - y_c \frac{\sin \psi}{\cos \theta}, \\ y_g = x_c \sin \psi + y_c \frac{\cos \psi}{\cos \theta} \quad (10)$$

где p , m , n — направляющие косинусы углов между винтовой осью и неподвижными осями соответственно X , Y , Z , x_g , y_g — координаты точки D пересечения (см. фигуру) винтовой оси с неподвижной плоскостью XY .

Радиус поворота точки M_1 твердого тела при винтовом движении будет $R_1 = (x_c^2 + y_c^2)^{1/2}$. Из всех возможных вариантов исполнения винтового движения переноса меньшее перемещение будет у того, для которого абсолютные значения ψ , θ , φ выбраны наименьшими. Анализ показал, что достаточными для практики интервалами поворотов будут: $\psi = \pm 90^\circ$, $\theta = \pm 90^\circ$, $\varphi = \pm 180^\circ$.

Определение установочных смещений винтовой оси по формулам (8) целесообразно для манипуляторов и тому подобных устройств с поворотным основанием и крестовыми салазками, устанавливаемыми на нем. При исполнении подвижного основания в виде крестового стола, несущего на себе механизмы поворота руки, установочные смещения винтовой оси необходимо определять по формулам (10).

Приводим расчетные формулы параметров установки и перемещения для применяемых на практике частных случаев переноса.

При плоском переносе координаты точек $M_1\{x_1, y_1\}$ и $M_2\{x_2, y_2\}$ до и после переноса лежат в одной плоскости, поэтому отпадает необходимость в установочном повороте на угол θ . Ось установочного поворота на угол $\psi = 90^\circ - \frac{1}{2}\varphi + \operatorname{arctg}(y_1/x_1)$ параллельна оси переносного поворота на угол $\varphi = \operatorname{arctg}[(x_2-x_1)/(y_2-y_1)]$ и смещена относительно последней на величину $x_c = (x_1 \sin \psi - y_1 \cos \psi)/\sin \varphi$, $y_c = 0$. Радиус поворота (для точ-

ки M_1) $R_1 = (x_1^2 + y_1^2)^{1/2} / 2 \sin^{1/2} \varphi$, а каноническое уравнение оси поворота

$$\frac{X-x_g}{0} = \frac{Y-y_g}{0} = \frac{Z}{1}, \quad x_g = x_c \cos \psi, \quad y_g = x_c \sin \psi$$

При сферическом переносе положение точки M_1 неизменно, а координаты точек $M_2\{x_2, y_2, z_2\}$ и $M_3\{x_3, y_3, z_3\}$ до и после переноса лежат на концентрических сферах радиусов соответственно $r_2=a$, $r_3=b$. Поэтому параметры ψ, θ, φ определяются по формулам (4), (5), (6) при $x_1=y_1=z_1=0$; параметры $x_c=y_c=0$, радиус поворота (для точки M_2) — $R_2=a(1-\sin^2 \psi \sin^2 \theta)^{1/2}$, положение оси сферического переноса

$$X/\sin \psi \sin \theta = Y/-\cos \psi \sin \theta = Z/\cos \theta$$

Пространственный перенос при задании двух точек $M_1\{x_1, y_1, z_1\}$, $M_2\{x_2, y_2, z_2\}$ применяют при перемещении металлорежущих инструментов и деталей, имеющих осесимметричную форму (тела вращения). Перенос в этом случае реализуется одним вращательным, а не винтовым движением. В качестве расчетных точек M_1, M_2 принимают любые две точки, лежащие на оси симметрии детали. Параметры установки оси поворота и параметры переноса получим, решая первые шесть уравнений системы (3) при условии, что $l=0$. При этом установочные углы $\psi=\arctg \{(z_1 y_2 - z_2 y_1) / [z_1(x_2-a) - z_2 x_1]\}$, $\theta=\arctg [z_1 / (y_1 \cos \psi - x_1 \sin \psi)]$, угол поворота $\varphi=\arctg [(1-k_3)(c_1+c_2 \operatorname{tg} \psi - \cos \varphi) / \cos \theta \operatorname{tg} \psi (c_1-k_3)]$, где $k_3=\sin^2 \psi \sin^2 \theta$. Остальные параметры определяются по формулам (8) — (10).

На практике число простых вращательных и поступательных движений при переносе изделий достигает шести и более (промышленные роботы [1]), а при переносе металлорежущего инструмента — трех. Основанный на аналитическом расчете выбор простых движений переноса позволит улучшить конструкцию механизмов. Так, требование — возможность выполнять промышленным роботом винтовое движение вокруг любой оси, расположенной в определенной рабочей зоне, — позволит осуществить наиболее быстрый и точный пространственный перенос. При этом, как следует из приведенных зависимостей, наиболее простым по структуре движений и в то же время универсальным по их исполнению будет двухподвижный робот, имеющий, кроме того, четыре конструктивно более простые установочные подвижности (две угловые и две прямолинейные).

Рассмотрим пример. Пусть изделие в исходном положении имеет координаты трех точек: $M_1\{0, 0, 0\}$, $M_2\{20, 0, 0\}$, $M_3\{0, 25, 0\}$, а в рабочей позиции координаты их в соответствии с (1) равны: $M_1\{x_1=26,499; y_1=-1,198, z_1=3,473\}$, $M_2\{x_2=37,749; y_2=-8,164; z_2=16,579\}$, $M_3\{x_3=44,514; y_3=19,105; z_3=1,231\}$. Тогда по формуле (4) $\operatorname{tg} \psi=-0,5774$, откуда $\psi_1=150^\circ$, $\psi_2=330^\circ$ и $\psi_3=-210^\circ$, $\psi_4=-30^\circ$. Принимаем $\psi=-30^\circ$. По формуле (5) $\operatorname{tg} \theta=-1$, откуда из значений $\theta_1=135^\circ$, $\theta_2=315^\circ$, $\theta_3=-225^\circ$, $\theta_4=-45^\circ$ выбираем $\theta=-45^\circ$. По формуле (6) $\varphi_1=300^\circ$ и $\varphi_2=-60^\circ$, откуда $\varphi=-60^\circ$. Далее по формулам (7), (8) будем иметь $l=13 \cdot 10^{-3}$ м ($t=78 \cdot 10^{-3}$ м), $x_c=18 \cdot 10^{-3}$ м, $y_c=-15 \cdot 10^{-3}$ м.

Наиболее целесообразный вариант переноса получим, если винтовую ось выставим сначала на углы $\psi=30^\circ$ и $\theta=45^\circ$ поворотами по часовой стрелке, а затем смещением на $0,018$ м и $-0,015$ м в направлениях x и y в плоскости, перпендикулярной винтовой оси. Перенос будет левовинтовым на величину $0,013$ м с шагом винта $0,078$ м. Полученные результаты можно проверить по формулам (3), вычисляя координаты точек M_1, M_2, M_3 в рабочем положении.

ЛИТЕРАТУРА

1. Кобринский А. Е., Коренблесов А. И., Саламандра Б. Л., Тывес Л. И. Автоматические манипуляторы с программным управлением (промышленные роботы). Состояние, перспективы, проблемы.—Станки и инструмент, 1974, № 11, с. 4—11.
2. Бухгольц Н. И. Основной курс теоретической механики. Ч. 1. М.: Наука, 1969. 467 с.
3. Лизин В. Н. Геометрическая теория абсолютного движения неизменяемой системы. Одесса: Тип. Ульриха и Шульце, 1872. 329 с.
4. Каргин Д. И. Графическое решение задач теоретической механики о винтовом перемещении твердого тела.—Тр. Ленингр. ин-та инж. ж.-д. трансп., 1952, вып. 144, с. 222—227.
5. Saussure R. Etude de géometrie cinématique réglée — Amer. J. Math., 1896, v. 18, p. 304—396.
6. Balleisen Ch. E. Positioning by single rotation.—Mach. Design, 1960, No. 4, p. 116—119.
7. Дорошевич А. М. Определение параметров винтового движения, обеспечивающего установку детали в заданное положение.—Изв. вузов. Машиностроение, 1963, № 9, с. 5—13.
8. Аверьянова В. Г., Диментберг Ф. М. Определение винта перемещения по начальному и конечному положениям твердого тела.—Машиноведение, 1965, № 2, с. 13—17.
9. Литвин Ф. Л. Теория зубчатых зацеплений. М.: Наука, 1968. 584 с.

Калинин

Поступила в редакцию
19.XI.1979